



УКРАЇНА

(19) UA (11) 156806 (13) U
(51) МПК (2024.01)
G01N 21/00
G01N 33/00

НАЦІОНАЛЬНИЙ ОРГАН
ІНТЕЛЕКТУАЛЬНОЇ ВЛАСНОСТІ
ДЕРЖАВНА ОРГАНІЗАЦІЯ
"УКРАЇНСЬКИЙ НАЦІОНАЛЬНИЙ
ОФІС ІНТЕЛЕКТУАЛЬНОЇ
ВЛАСНОСТІ ТА ІННОВАЦІЙ"

(12) ОПИС ДО ПАТЕНТУ НА КОРИСНУ МОДЕЛЬ

(21) Номер заявки: u 2024 00038	(72) Винахідник(и): Заболотна Наталія Іванівна (UA), Павлов Сергій Володимирович (UA), Шолота Владислава Владиславівна (UA)
(22) Дата подання заявки: 02.01.2024	(73) Володілець (володільці): ВІННИЦЬКИЙ НАЦІОНАЛЬНИЙ ТЕХНІЧНИЙ УНІВЕРСИТЕТ, вул. Хмельницьке шосе, 95, м. Вінниця, 21021 (UA)
(24) Дата, з якої є чинними права інтелектуальної власності: 08.08.2024	
(46) Публікація відомостей про державну реєстрацію: 07.08.2024, Бюл.№ 32	

(54) СПОСІБ ВИМІРЮВАННЯ ОРІЄНТАЦІЙНИХ ТОМОГРАМ ОПТИКО-АНІЗОТРОПНИХ ШАРІВ ДВОШАРОВИХ БІОЛОГІЧНИХ ТКАНИН

(57) Реферат:

Спосіб вимірювання орієнтаційних томограм полікристалічних мереж оптико-анізотропних шарів біологічних тканин включає формування поляризованого лазерного пучка у вигляді випромінювання низькокогерентного напівпровідникового лазерного діода з довжиною хвилі 0,64 мкм, із якого формують паралельний правоциркулярно поляризований лазерний пучок, пропускають його через поляризатор, який обертають на кути від $\theta = 0 \div \pi$ з кроком $\Delta\theta = \frac{\pi}{180}$, і формують серію лінійно поляризованих лазерних пучків з азимутами $\alpha = \theta$, якими на кожному кроці зондують біологічну тканину. Проектують лазерне зображення біологічної тканини за допомогою мікрооб'єктива, кутова апертура якого узгоджена із індикатрисою розсіяння лазерного пучка, у площину цифрової світлочутливої камери, що налічує $m \times n = 800 \text{ пікс} \times 600 \text{ пікс}$, кожний з яких має просторову роздільну здатність 2 $\mu\text{м}$, пропускають через поляризаційний фільтр, що обертається. Вимірюють координатні розподіли різнополяризованих складових інтенсивності зображення. При цьому на кожному θ_i -му кроці шляхом використання шестиканального поляризаційного фільтра, який обертається в межах $\theta = 0 \div 2\pi$ з кроком 60°, отримують на виході кожного каналу послідовно шість поляризаційно відфільтрованих за азимутами лінійної поляризації 0°, 90°, 45°, 135° та за "правою циркуляцією" і "лівою циркуляцією" інтенсивностей зображень оптико-анізотропної двошарової тканини біологічної тканини. Шляхом стокс-поляриметричного аналізу одержують координатний розподіл точок (x, y) зображення двошарової біологічної тканини ($x = 1; M; y = 1; N$), для яких сформовано оптимальний стан поляризації опромінюючого пучка при заданому поточному куті обертання θ_i поляризатора. Обчислюють шляхом алгоритмічної обробки значення орієнтаційної томограми зовнішнього шару та підповерхневого внутрішнього шару двошарової біологічної тканини.

UA 156806 U

Корисна модель належить до фізичної оптики, лазерної фізики, а також до вимірювальної техніки, і може бути використана для вимірювання координатних розподілів орієнтацій оптичних осей полікристалічних мереж оптико-анізотропних підповерхневих шарів двошарових біологічних структур, що актуально у діагностиці їх орієнтаційної полікристалічної структури для біомедичних досліджень.

Відомий спосіб вимірювання Мюллер-матричної орієнтаційної томограми полікристалічних мереж оптико-анізотропних шарів біологічних тканин, який включає формування поляризованого лазерного пучка у вигляді випромінювання низькокогерентного напівпровідникового лазерного діода з довжиною хвилі 0,64 мкм, із якого формують паралельний правоциркулярно поляризований лазерний пучок, пропускають його через поляризатор, що формує серію різнополяризованих лазерних пучків з азимутами поляризації "0°"; "90°" і "45°", якими зондують шар біологічної тканини, в межах кожного каналу зондування за допомогою мікрооб'єктива, кутова апертура якого узгоджена із індикатрисою розсіювання лазерного пучка, формують зображення оптико-анізотропного шару в площині цифрової світлочутливої камери, що налічує $m \times n = 800 \text{ рix} \times 600 \text{ рix}$, кожний з яких має просторову роздільну здатність 2 μm , для кожного типу поляризації зондувального пучка вимірюють два координатні розподіли інтенсивності лазерного зображення оптико-анізотропного шару шляхом використання паралельних каналів ортогонального поляризаційного аналізу "права циркуляція" і "ліва циркуляція" та обчислюють шляхом алгоритмічної обробки величин інтенсивностей значення орієнтаційних елементів матриці Мюллера, на основі чого одержують Мюллер-матричну орієнтаційну томограму [Патент № 86607 Україна, МПК G01N 33/48, A61B 5/00, опубл. 10.01.14, бюл. № 1].

Недоліками способу є те, що вимірювання орієнтаційних томограм можливе лише для оптично тонких одношарових біологічних тканин, що призводить до обмеження функціональних можливостей способу при діагностиці оптико-анізотропних підповерхневих шарів реальних двошарових біологічних структур, наприклад, типу "м'язова тканина - сполучна тканина".

Найближчим аналогом корисної моделі є спосіб вимірювання орієнтаційних томограм полікристалічних мереж оптико-анізотропних шарів біологічних тканин, який включає формування поляризованого лазерного пучка у вигляді випромінювання низькокогерентного напівпровідникового лазерного діода з довжиною хвилі 0,64 мкм, із якого формують паралельний правоциркулярно поляризований лазерний пучок, пропускають його через поляризатор, який обертають на кути від $\theta = 0 \div \pi$ з кроком $\Delta\theta = \frac{\pi}{180}$ і формують серію лінійно

поляризованих лазерних пучків з азимутами α , якими зондують шар біологічної тканини, проєктують лазерне зображення шару біологічної тканини за допомогою мікрооб'єктива, кутова апертура якого узгоджена із індикатрисою розсіювання лазерного пучка, у площину цифрової світлочутливої камери, що налічує $m \times n = 800 \text{ рix} \times 600 \text{ рix}$, кожний з яких має просторову роздільну здатність 2 μm , пропускають через схрещений поляризаційний фільтр з площиною пропускання, орієнтовану під кутом $\alpha + 0,5\pi$, синхронно обертають систему поляризатор - аналізатор на кути від $\theta = 0 \div \pi$ з кроком $\Delta\theta = \frac{\pi}{180}$, для кожного кроку $\Delta\theta$ вимірюють

координатні розподіли різнополяризованих складових інтенсивності зображення оптико-анізотропного шару та координатний розподіл його нульового рівня інтенсивності, на основі чого одержують координатний розподіл однакових орієнтацій оптичних осей полікристалічної мережі шару біологічної тканини або орієнтаційну томограму [Патент № 102237 Україна, МПК G01N 33/48, G01N 21/00, опубл. 26.10.2015, бюл. № 20].

Недоліками цього способу є те, що вимірювання орієнтаційних томограм можливе лише для оптично тонких одношарових біологічних тканин, що призводить до обмеження функціональних можливостей способу при діагностиці оптико-анізотропних підповерхневих шарів реальних двошарових біологічних структур, наприклад, типу "м'язова тканина - сполучна тканина".

В основу корисної моделі поставлено задачу створення способу вимірювання орієнтаційних томограм полікристалічних мереж оптико-анізотропних шарів двошарових біологічних тканин, в якому за рахунок вимірювання оптимального стану поляризації опромінюючого біологічну тканину лазерного пучка, сформованого при обертанні лінійного поляризатора на кути в межах $\theta = 0 \div \pi$ з кроком $\Delta\theta = \frac{\pi}{180}$, шляхом стокс-поляриметричного аналізу на кожному кроці

виміряних шести відфільтрованих різнополяризованих складових інтенсивностей зображень біологічної тканини, досягається розширення функціональних можливостей по визначенню орієнтаційних томограм як зовнішнього, так і підповерхневого внутрішнього шару двошарової біологічної тканини.

Технічний результат забезпечує нова сукупність дій, яка складає запропонований спосіб, що призводить до розширення функціональних можливостей способу по визначенню орієнтаційних томограм як зовнішнього, так і внутрішнього шару двошарової біологічної тканини. При цьому вперше виконано проведення моніторингу оптимального стану поляризації опромінюючого пучка за змінами координатних розподілів векторів Стокса в точках поляризаційно-неоднорідного зображення двошарової біологічної тканини для визначення орієнтаційних томограм її шарів.

Поставлена задача вирішується тим, що у способі вимірювання орієнтаційних томограм полікристалічних мереж оптико-анізотропних шарів біологічних тканин, який включає формування поляризованого лазерного пучка у вигляді випромінювання низькокогерентного напівпровідникового лазерного діода з довжиною хвилі 0,64 мкм, із якого формують паралельний правоциркулярно поляризований лазерний пучок, пропускають його через поляризатор, який обертають на кути від $\theta = 0 \div \pi$ з кроком $\Delta\theta = \frac{\pi}{180}$ і формують серію лінійно

поляризованих лазерних пучків з азимутами $\alpha = \theta$, якими на кожному кроці зондують біологічну тканину, проєктують лазерне зображення біологічної тканини за допомогою мікрооб'єктива, кутова апертура якого узгоджена із індикатрисою розсіяння лазерного пучка, у площину цифрової світлочутливої камери, що налічує $m \times n = 800 \text{ пікс} \times 600 \text{ пікс}$, кожний з яких має просторову роздільну здатність $2 \mu\text{м}$, пропускають через поляризаційний фільтр, що обертається, вимірюють координатні розподіли різнополяризованих складових інтенсивності зображення, згідно з корисною моделлю, на кожному θ_i -му кроці шляхом використання шестиканального поляризаційного фільтра, який обертається в межах $\theta = 0 \div 2\pi$ з кроком 60° , отримують на виході кожного каналу послідовно шість поляризаційно відфільтрованих за азимутами лінійної поляризації 0° , 90° , 45° , 135° та за "правою циркуляцією" і "лівою циркуляцією" інтенсивностей зображень оптико-анізотропної двошарової тканини біологічної тканини, за якими шляхом стокс-поляриметричного аналізу одержують координатний розподіл точок (x, y) зображення двошарової біологічної тканини $(x = 1; M; y = 1; N)$, для яких сформовано оптимальний стан поляризації опромінюючого пучка при заданому поточному куті обертання θ_i поляризатора, та на цій основі обчислюють шляхом алгоритмічної обробки значення орієнтаційної томограми зовнішнього шару та підповерхневого внутрішнього шару двошарової біологічної тканини.

На фіг. 1 представлено структурну схему пристрою, який реалізує запропонований спосіб, на фіг. 2 представлено приклад орієнтаційних томограм полікристалічної мережі зовнішнього шару дерми шкіри двошарової біологічної структури "дерма шкіри - м'язова тканина", на фіг. 3 представлено приклад орієнтаційних томограм полікристалічної мережі підповерхневого внутрішнього шару м'язової тканини двошарової біологічної структури "дерма шкіри - м'язова тканина".

Спосіб реалізується за допомогою пристрою, який містить напівпровідниковий низькокогерентний лазерний діод 1 з довжиною хвилі 0,64 мкм, оптичний вихід якого через коліматор 2 і чвертьхвильову фазову пластинку 3 оптично з'єднаний із поляризатором 4, розміщеним в поворотному пристрої 5, оптичний вихід поляризатора через досліджуваний зразок з можливістю оптичного зв'язку з мікрооб'єктивом 7 з'єднаний із оптичним входом шестиканального поляризаційного фільтра 8, утвореного чотирма лінійними поляризаторами 9₁-9₄ та двома чвертьхвильовими фазовими пластинками 10₁-10₂ та розміщеного в поворотному пристрої 11. Вихід шестиканального поляризаційного фільтра оптично з'єднаний з входом цифрової світлочутливої камери 12, підключеної до комп'ютера 13, який через блок мікроконтролерного керування 14 здійснює керування поворотними пристроями 5 і 11, відповідно, поляризатора 4 та шестиканального поляризаційного фільтра 8 відносно їх осей. Позицією 6 позначено зразок.

Спосіб здійснюється таким чином. Опромінювання проводять паралельним, сформованим за допомогою коліматора 2, пучком напівпровідникового лазера. За допомогою чвертьхвильової фазової пластинки 3 формують паралельний правоциркулярний поляризований лазерний пучок і послідовно пропускають його крізь поляризатор 4, який розміщений в поворотному пристрої 5 з фіксованими кутами обертання на кути в межах $\theta = 0 \div \pi$ з кроком $\Delta\theta = \frac{\pi}{180}$, утворюючи серію

лінійно поляризованих пучків з довільним азимутом θ . Кожним сформованим лінійно поляризованим пучком із серії послідовно зондують зразок - двошарову біологічну тканину 6 та проєктують розсіяне біологічною тканиною поляризоване випромінювання за допомогою мікрооб'єктива 7, кутова апертура якого узгоджена із індикатрисою розсіювання лазерного пучка, у площину цифрової світлочутливої камери 12 роздільною здатністю $m \times n = 800 \text{ пікс} \times 600 \text{ пікс}$

через шестиканальний поляризаційний фільтр 8, що обертається послідовно в межах $\theta = 0 \div 2\pi$ з кроком 60° на поворотному пристрої 11. За шість послідовних поворотів поляризаційного фільтра 8 формують послідовно шість поляризаційно відфільтрованих за азимутами лінійної поляризації $0^\circ, 90^\circ, 45^\circ, 135^\circ$ та за "правою циркуляцією" і "лівою циркуляцією" зображень оптико-анізотропної біологічної тканини шляхом використання його лінійних поляризаторів 9₁-9₄ та фазових чвертьхвильових пластинок 10₁ та 10₂, відповідно.

Цифрова світлочутлива камера 12, підключена до комп'ютера 13, який зберігає утворені зображення, і через блок мікроконтролерного керування 14 здійснює керування обертанням поворотними пристроями 5 і 11, відповідно, поляризатора 4 та шестиканального поляризаційного фільтра 8.

Шляхом алгоритмічної обробки для кожного кроку обертання $\theta_i = \theta_0 + i\Delta\theta$ поляризатора 4 за допомогою комп'ютера 13 визначають координатні розподіли параметрів вектора Стокса перетвореного біологічною тканиною випромінювання за шістьма поляризаційно відфільтрованими зображеннями. На основі комп'ютерного аналізу вимірних значень елементів вектора Стокса S_2, S_3, S_4 знаходять координатний розподіл точок (x, y) зображення біологічної тканини $(x = 1; M; y = 1; N)$, для яких сформовано оптимальний стан поляризації опромінюючого пучка при заданому поточному куті обертання θ_i поляризатора 4, тобто для яких виконується співвідношення:

$$(S_2^{(x,y)}(\theta_i))^2 + (S_3^{(x,y)}(\theta_i))^2 + (S_4^{(x,y)}(\theta_i))^2 \rightarrow 1. \quad (1)$$

Шляхом алгоритмічної обробки для кожного кроку θ_i та розподілу точок (x, y) зображення біологічної тканини визначають відповідні значення орієнтаційної томограми зовнішнього шару $\rho_A^{(x,y)}(\theta_i)$ та підповерхневого внутрішнього шару $\rho_B^{(x,y)}(\theta_i)$ двошарової біологічної тканини на основі співвідношень:

$$\rho_B^{(x,y)}(\theta_i) = 0,5 \arctg\left(\frac{(S_3^{(x,y)}(\theta_i))}{(S_2^{(x,y)}(\theta_i))}\right). \quad (2)$$

Здійснюючи повне обертання площини поляризації опромінюючого пучка на виході поляризатора 4 в межах $0 \leq \theta \leq \pi$ за допомогою поворотного пристрою 5, одержують серію орієнтаційних томограм $\rho_A^{(m \times n)}(\theta_0) \equiv R_A(\theta_0), \rho_B^{(m \times n)}(\theta_0) \equiv R_B(\theta_0), \rho_A^{(m \times n)}(\theta_1) \equiv R_A(\theta_1), \rho_B^{(m \times n)}(\theta_1) \equiv R_B(\theta_1), \dots$ кожного шару двошарової біологічної тканини:

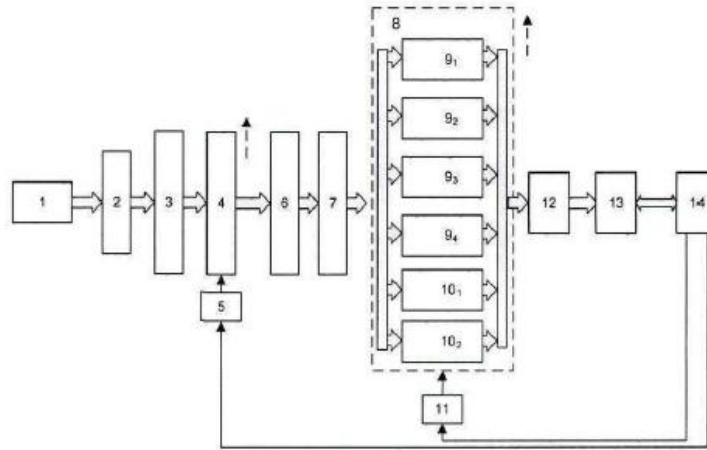
$$\theta_k = \theta_{k-1} + k\Delta\theta \Rightarrow \rho_A^{(m \times n)}(k) \equiv R_A(\theta_k), \rho_B^{(m \times n)}(k) \equiv R_B(\theta_k) \quad (3)$$

ФОРМУЛА КОРИСНОЇ МОДЕЛІ

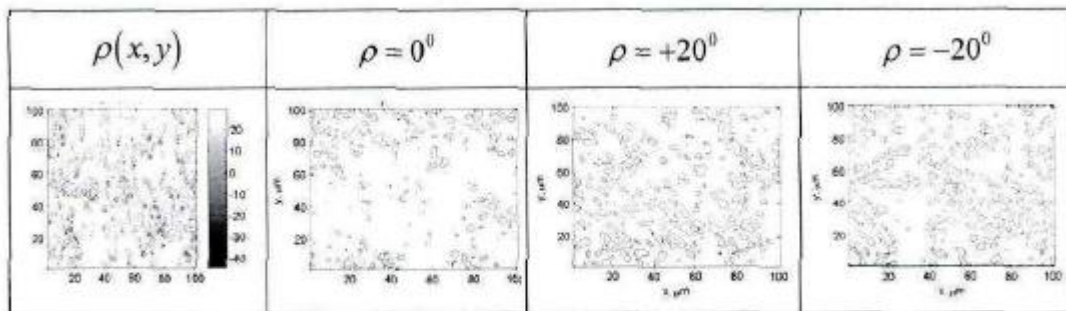
Спосіб вимірювання орієнтаційних томограм полікристалічних мереж оптико-анізотропних шарів біологічних тканин, який включає формування поляризованого лазерного пучка у вигляді випромінювання низькокогерентного напівпровідникового лазерного діода з довжиною хвилі $0,64 \mu\text{m}$, із якого формують паралельний правоциркулярно поляризований лазерний пучок, пропускають його через поляризатор, який обертають на кути від $\theta = 0 \div \pi$ з кроком $\Delta\theta = \frac{\pi}{180}$, і

формують серію лінійно поляризованих лазерних пучків з азимутами $\alpha = \theta$, якими на кожному кроці зондують біологічну тканину, проєктують лазерне зображення біологічної тканини за допомогою мікрооб'єктива, кутова апертура якого узгоджена із індикатрисою розсіяння лазерного пучка, у площину цифрової світлочутливої камери, що налічує $m \times n = 800 \text{ пікс} \times 600 \text{ пікс}$, кожний з яких має просторову роздільну здатність $2 \mu\text{m}$, пропускають через поляризаційний фільтр, що обертається, вимірюють координатні розподіли різнополяризованих складових інтенсивностей зображення, який **відрізняється** тим, що на кожному θ_i -му кроці шляхом використання шестиканального поляризаційного фільтра, який обертається в межах $\theta = 0 \div 2\pi$ з кроком 60° , отримують на виході кожного каналу послідовно шість поляризаційно відфільтрованих за азимутами лінійної поляризації $0^\circ, 90^\circ, 45^\circ, 135^\circ$ та за "правою циркуляцією" і "лівою циркуляцією" інтенсивностей зображень оптико-анізотропної двошарової тканини біологічної тканини, за якими шляхом стокс-поляриметричного аналізу одержують координатний

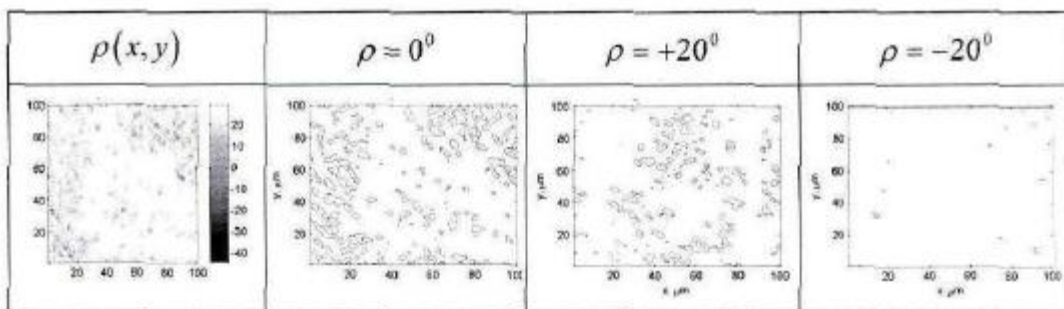
розподіл точок (x, y) зображення двохшарової біологічної тканини ($x = \overline{1; M}; y = \overline{1; N}$), для яких сформовано оптимальний стан поляризації опромінюючого пучка при заданому поточному куті обертання θ_i поляризатора, та на цій основі обчислюють шляхом алгоритмічної обробки значення орієнтаційної томограми зовнішнього шару та підповерхневого внутрішнього шару двохшарової біологічної тканини.



Фіг. 1



Фіг. 2



Фіг. 3